

УДК 539.3

В.П. Андрієвський<sup>1</sup>, канд. техн. наукЮ.В. Максим'юк<sup>1</sup>, канд. техн. наук<sup>1</sup>Київський національний університет будівництва і архітектури  
Повітрофлотський просп., 31, м. Київ. 03680

## МЕТОДИКА РОЗВ'ЯЗАННЯ ВІСЕСИМЕТРИЧНИХ ЗАДАЧ СТАЦІОНАРНОЇ ТЕПЛОПРОВІДНОСТІ ТА ТЕРМО- ПРУЖНОСТІ НА ОСНОВІ МССЕ

Наведені основні розрахункові співвідношення вісесиметричних задач стаціонарної теплопровідності та термопружності в криволінійній системі координат. На базі основних положень моментної схеми скінченних елементів отримано співвідношення для визначення температурних деформацій. Проведені чисельні дослідження для обґрунтування достовірності результатів.

**Ключові слова:** теплопровідність, термопружність, вісесиметричні тіла, моментна схема скінченних елементів (МССЕ).

**Вступ.** Значна кількість відповідальних об'єктів сучасної техніки, таких як, ротори парових турбін і газотурбінних установок знаходяться під дією термосилового навантаження пов'язаного з нерівномірним розподілом температури. В значній кількості випадків їх експлуатація відбувається при усталених значеннях перелічених зовнішніх факторів. В цьому випадку визначення нерівномірних температурних полів потребує розв'язку стаціонарної вісесиметричної задачі теплопровідності. Розв'язувальні співвідношення задачі термопружності отримані на основі методики моментної схеми скінченних елементів [1].

**1. Матриця теплопровідності для вісесиметричних тіл в місцевій криволінійній системі координат.** При дослідженні температурних полів вісесиметричних тіл обертання на основі МСЕ доцільно використовувати дві системи координат: базисну і місцеву. Розглянемо вісесиметричне тіло (рис. 1) в базисній круговій циліндричній системі координат  $z^i$ , вісь  $z^1$  якої співпадає з віссю обертання, а  $z^2$  спрямована вздовж радіуса. Вісі  $z^1$  та  $z^2$  базисної системи координат розташовані в площині меридіонального перетину тіла обертання, а вісь  $z^3$  орієнтована по окружній координаті. Базисна система координат призначена для завдання вихідної інформації про геометрію об'єкта та граничні умови. В свою чергу місцева система координат  $x^i$  призначена для виведення розрахункових співвідношень скінченного елемента (СЕ). Вона природньо пов'я-

зана з геометрією меридіонального перетину досліджуваного об'єкта, при цьому вісь  $x^3$  збігається за напрямком з  $z^3$ .

Будемо вважати, що в кожній точці тіла відомі компоненти тензора перетворення  $z^{i'}$  місцевої та базисної систем координат [2]:

$$z^{i',j'} = \frac{\partial z^{i'}}{\partial x^{j'}}, \quad z^{3'} = z^{3,\alpha} = 0.$$

Тут і в подальшому всі індекси, позначені грецькими буквами, будуть приймати значення 1, 2, а позначені латинськими – 1, 2, 3.

Компоненти метричного тензору  $g_{mn}$  в місцевій системі координат подамо через компоненти метричного тензору базисної системи за формулою:

$$g_{mn} = z^{i',m} z^{j',n} g_{i'j'}. \quad (1)$$

Для визначення розподілення температур із використанням МСЕ в якості вихідного взято варіаційне рівняння вісесиметричної задачі стаціонарної теплопровідності [3]:

$$\delta\chi = \int_{x^1} \int_{x^2} \lambda_T \frac{\partial T}{\partial x^\alpha} \frac{\partial \delta T}{\partial x^\beta} g^{\alpha\beta} \sqrt{g} dx^1 dx^2 = 0. \quad (2)$$

де  $\overset{\circ}{g}$  - визначник матриці, побудованої з компонент метричного тензору;  $\lambda_T$  – коефіцієнт теплопровідності;  $T$  – функція, що описує розподілення температур в площині досліджуваного об'єкта.

При скінченноелементній апроксимації досліджуваного об'єкта для системи з  $N$  СЕ зазначене рівняння (2) набуває вигляду:

$$\delta\chi = \sum_{n=1}^N \delta\chi_n = \sum_{n=1}^N \int_{x^1=-1/2}^{x^1=1/2} \int_{x^2=-1/2}^{x^2=1/2} \lambda_T \left( \frac{\partial T}{\partial x^\alpha} \frac{\partial \delta T}{\partial x^\beta} g^{\alpha\beta} \right) \sqrt{g} dx^1 dx^2 = 0. \quad (3)$$

Для чисельного розв'язання задач теплопровідності розроблений вісесиметричний скінченний елемент, загальний вигляд якого в базисній (а) і місцевій (б) системах координат наведений на рис. 2.

В межах СЕ передбачається, що коефіцієнт теплопровідності  $\lambda_T$  та значення компонент метричного тензору  $g^{ij}$  несуттєво змінюються в площині СЕ і приймаються рівними їх відповідним значенням в центрі:

$$\lambda_T = \overset{\circ}{\lambda}_T = \lambda_T|_{x^\alpha=0}, \quad g^{ij} = \overset{\circ}{g}^{ij} = g^{ij}|_{x^\alpha=0}.$$

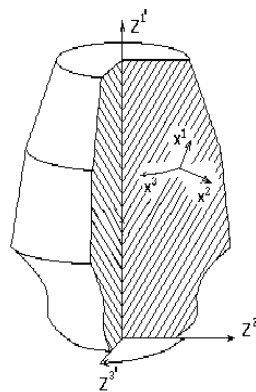


Рис. 1

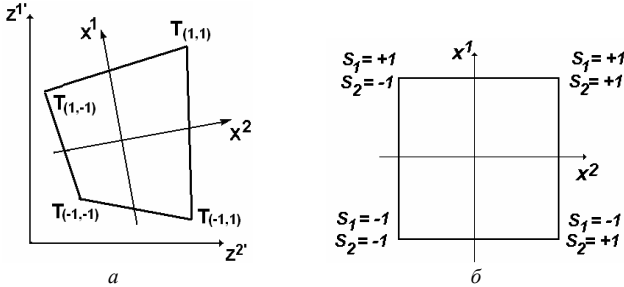


Рис. 2

В якості невідомих при розв'язанні задачі стаціонарної теплопровідності приймається значення температури в вузлах елемента  $T_{(S_1, S_2)}$ .

Розподілення температури у межах СЕ описується білінійним законом:

$$T = \sum_{S_1=\pm 1} \sum_{S_2=\pm 1} T_{(S_1, S_2)} \left( \frac{1}{2} S_1 x^1 + \frac{1}{2} S_2 x^2 + S_1 S_2 x^1 x^2 + \frac{1}{4} \right), \quad (4)$$

де  $T_{(S_1, S_2)}$  – вузлові значення температури.

Вирази для похідних від температури мають вигляд:

$$T_{, \alpha} = \sum_{S_1=\pm 1} \sum_{S_2=\pm 1} T_{(S_1, S_2)} \left( \frac{1}{2} + S_{(3-\alpha)} x^{(3-\alpha)} \right) S_{\alpha}. \quad (5)$$

Після підстановки в (3) значень температури (4) та її похідних (5) отримаємо:

$$\begin{aligned} \delta \chi_n = & \int_{x^1=-1/2}^{x^1=1/2} \int_{x^2=-1/2}^{x^2=1/2} \lambda_T \left[ \sum_{S_1=\pm 1} \sum_{S_2=\pm 1} \left( T_{(S_1, S_2)} \left( \frac{1}{2} + S_{(3-\alpha)} x^{(3-\alpha)} \right) S_{\alpha} \right) \times \right. \\ & \left. \times \sum_{P_1=\pm 1} \sum_{P_2=\pm 1} \left( \delta T_{(P_1, P_2)} \left( \frac{1}{2} + P_{(3-\beta)} x^{(3-\beta)} \right) P_{\beta} \right) g^{\alpha\beta} \right] \sqrt{g} dx^1 dx^2. \quad (6) \end{aligned}$$

Грунтуючись на введених гіпотезах про постійність теплофізичних і геометричних характеристик в межах поперечного перерізу СЕ, а також після обчислення наступних інтегралів по площі СЕ:

$$\begin{aligned} \int_{x^1=-1/2}^{x^1=1/2} \int_{x^2=-1/2}^{x^2=1/2} dx^1 dx^2 = 1, \quad \int_{x^1=-1/2}^{x^1=1/2} \int_{x^2=-1/2}^{x^2=1/2} x^{\alpha} dx^1 dx^2 = 0, \\ \int_{x^1=-1/2}^{x^1=1/2} \int_{x^2=-1/2}^{x^2=1/2} x^{\alpha} x^{\beta} dx^1 dx^2 = \begin{cases} 0, & \alpha \neq \beta \\ \frac{1}{12}, & \alpha = \beta \end{cases}, \quad (7) \end{aligned}$$

отримаємо:

$$\delta\chi_n = \lambda_T \sum_{S_1=\pm 1} \sum_{S_2=\pm 1} \sum_{P_1=\pm 1} \sum_{P_2=\pm 1} \left[ T_{(S_1, S_2)} \delta T_{(P_1, P_2)} \left( \frac{1}{4} S_\alpha P_\beta \overset{\circ}{g}^{\alpha\beta} + \frac{1}{12} S_1 S_2 P_1 P_2 \overset{\circ}{g}^{\alpha\alpha} \right) \right] \sqrt{\overset{\circ}{g}}$$

або в матричному вигляді:

$$\delta\chi_n = \sum_{l=1}^L \sum_{m=1}^L \left[ \delta\{T\}^T [A] \{T\}_l \right], \quad (8)$$

де  $\{T\}^T = \{T_{(-1,-1)} \quad T_{(1,-1)} \quad T_{(-1,1)} \quad T_{(1,1)}\}$  – вектор температури;  $[A]$  – матриці теплопровідності вісесиметричного СЕ, що обчислюються за формулою:

$$[A]_l = \left( \frac{1}{4} S_\alpha P_\beta \overset{\circ}{g}^{\alpha\beta} + \frac{1}{12} S_1 S_2 P_1 P_2 \overset{\circ}{g}^{\alpha\alpha} \right) \sqrt{\overset{\circ}{g}} \lambda_l. \quad (9)$$

З метою доведення достовірності результатів розв'язку задачі стаціонарної теплопровідності із використанням отриманих співвідношень розглянуто тестову задачу про теплопровідність нескінченного циліндру. Дискретна модель МСЕ наведена на рис. 3.

Вихідні дані:  $r_1=10$  мм,  $r_2=40$  мм, температура на внутрішній поверхні стінки  $T_1=100^\circ\text{C}$ , температура на зовнішній поверхні стінки  $T_2=400^\circ\text{C}$ . Поверхні вздовж осі  $z^2$  абсолютно теплоізовані. В якості еталонного прийнятий аналітичний розв'язок отриманий в роботі [4]. Як видно, отримані результати (табл. 1) майже повністю збігаються із еталонним розв'язком.

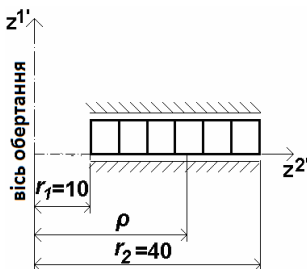


Рис. 3

Таблиця 1

$\rho$ , мм	Температура $T$ , $^\circ\text{C}$		Похибка, %
	Аналітично [4]	МСЕ	
10	100	100	0
15	187,74	186,62	0,60
20	250	247,87	0,85
25	298,27	296,12	0,72
30	337,74	336,62	0,33
35	371,10	370,33	0,21
40	400	400	0

**2. Визначення параметрів напружено-деформованого стану при температурному навантаженні.** При термопружному деформуванні напруження визначаються згідно узагальненого закону Гука:

$$\sigma^{ij} = C^{ijkl} \varepsilon_{kl}^e. \quad (10)$$

Компоненти тензора пружних сталих  $C^{ijkl}$  для ізотропного тіла знаходимо з співвідношення:

$$C^{ijkl} = \lambda g^{ij} g^{kl} + \mu (g^{jl} g^{ik} + g^{il} g^{jk}),$$

де коефіцієнти Ляме  $\lambda$  та  $\mu$  визначаються через коефіцієнт Пуассона  $\nu = \nu(z^{i^1}, T)$  і модуль пружності матеріалу (модуль Юнга)  $E = E(z^{i^1}, T)$ :

$$\lambda = \frac{E\nu}{(1-2\nu)(1+\nu)}, \quad \mu = \frac{E}{2(1+\nu)}.$$

При термопружному деформуванні вісесиметричних тіл компоненти повної деформації  $\varepsilon_{ij}$  можуть бути подані сумою пружних деформацій  $\varepsilon_{ij}^e$  та температурних деформацій  $\varepsilon_{ij}^T$ , тобто:

$$\varepsilon_{ij} = \varepsilon_{ij}^e + \varepsilon_{ij}^T. \quad (11)$$

Для ізотропного матеріалу температурні складові компонент тензора деформацій визначаються за формулою:

$$\varepsilon_{ij}^T = \alpha_T \Delta T g_{ij}, \quad (12)$$

де  $\alpha_T = \alpha_T(z^{k^1}, T)$  – коефіцієнт лінійного розширення матеріалу,  $\Delta T = T - T_0$  – приріст температури в досліджуваній точці тіла відносно його вихідного стану при  $T = T_0$ .

Фізичні компоненти тензора температурних деформацій в місцевій системі координат визначаються виразом:

$$\tilde{\varepsilon}_{ij}^T = \frac{\varepsilon_{ij}^T}{\sqrt{g_{(ii)} g_{(jj)}}}. \quad (13)$$

У відповідності до МССЕ [1] в поперечному перетині температурні деформації подамо відрізками ряду Маклорена:

$$\begin{aligned} \tilde{\varepsilon}_{\alpha(\alpha)}^T &= \tilde{\varepsilon}_{\alpha(\alpha)}^T + \tilde{\varepsilon}_{\alpha(\alpha), (3-\alpha)}^T x^{(3-\alpha)}; \\ \tilde{\varepsilon}_{12}^T &= \tilde{\varepsilon}_{12}^T; \quad \tilde{\varepsilon}_{33}^T = \tilde{\varepsilon}_{33}^T + \tilde{\varepsilon}_{33, \beta}^T x^\beta. \end{aligned} \quad (14)$$

Запишемо коефіцієнти розкладання компонент фізичних температурних деформацій в ряд Маклорена з урахуванням їх подання в місцевій системі координат:

$$\begin{aligned}
\overset{\circ}{\tilde{\varepsilon}}_{\alpha(\alpha)}^T &= \frac{1}{\overset{\circ}{g}_{\alpha(\alpha)}} \overset{\circ}{\varepsilon}_{\alpha(\alpha)} = \overset{\circ}{\alpha}_T \Delta T; \\
\overset{\circ}{\tilde{\varepsilon}}_{\alpha(\alpha),(3-\alpha)}^T &= \frac{\partial \overset{\circ}{\tilde{\varepsilon}}_{\alpha(\alpha)}^T}{\partial x^{(3-\alpha)}} = \frac{\partial(\overset{\circ}{\alpha}_T \Delta T)}{\partial x^{(3-\alpha)}} = \overset{\circ}{\alpha}_T \Delta T_{,(3-\alpha)}; \\
\overset{\circ}{\tilde{\varepsilon}}_{12}^T &= \frac{1}{\sqrt{\overset{\circ}{g}_{11} \overset{\circ}{g}_{22}}} \overset{\circ}{\varepsilon}_{12} = \overset{\circ}{\alpha}_T \Delta T \frac{\overset{\circ}{g}_{12}}{\sqrt{\overset{\circ}{g}_{11} \overset{\circ}{g}_{22}}}; \\
\overset{\circ}{\tilde{\varepsilon}}_{33}^T &= \frac{1}{\overset{\circ}{g}_{33}} \overset{\circ}{\varepsilon}_{33} = \overset{\circ}{\alpha}_T \Delta T; \\
\overset{\circ}{\tilde{\varepsilon}}_{33,\beta}^T &= \frac{\partial \overset{\circ}{\tilde{\varepsilon}}_{33}^T}{\partial x^\beta} = \frac{\partial(\overset{\circ}{\alpha}_T \Delta T)}{\partial x^\beta} = \overset{\circ}{\alpha}_T \Delta T_{,\beta},
\end{aligned} \tag{15}$$

де  $\overset{\circ}{\varepsilon}_{ij}^T = \varepsilon_{ij}^T \Big|_{x^\alpha=0}$ ,  $\overset{\circ}{\varepsilon}_{ij,\beta}^T = \frac{\partial \varepsilon_{ij}^T}{\partial x^\beta} \Big|_{x^\beta=0}$ .

Згідно формули (13) та підставляючи (15) знаходимо:

$$\begin{aligned}
\overset{\circ}{\varepsilon}_{\alpha(\alpha)}^T &= \overset{\circ}{\tilde{\varepsilon}}_{\alpha(\alpha)} \overset{\circ}{g}_{\alpha(\alpha)} = \overset{\circ}{\alpha}_T \Delta T \overset{\circ}{g}_{\alpha(\alpha)}; \\
\overset{\circ}{\varepsilon}_{\alpha(\alpha),(3-\alpha)}^T &= \overset{\circ}{\tilde{\varepsilon}}_{\alpha(\alpha),(3-\alpha)} \overset{\circ}{g}_{\alpha(\alpha)} = \overset{\circ}{\alpha}_T \Delta T_{,(3-\alpha)} \overset{\circ}{g}_{\alpha(\alpha)}; \\
\overset{\circ}{\varepsilon}_{12}^T &= \overset{\circ}{\tilde{\varepsilon}}_{12} \sqrt{\overset{\circ}{g}_{11} \overset{\circ}{g}_{22}} = \overset{\circ}{\alpha}_T \Delta T \overset{\circ}{g}_{12}; \\
\overset{\circ}{\varepsilon}_{33}^T &= \overset{\circ}{\tilde{\varepsilon}}_{33} \overset{\circ}{g}_{33} = \overset{\circ}{\alpha}_T \Delta T \overset{\circ}{g}_{33}; \\
\overset{\circ}{\varepsilon}_{33,\beta}^T &= \overset{\circ}{\tilde{\varepsilon}}_{33,\beta} \overset{\circ}{g}_{33} = \overset{\circ}{\alpha}_T \Delta T_{,\beta} \overset{\circ}{g}_{33}.
\end{aligned} \tag{16}$$

Подамо коефіцієнти розкладення компонент температурних деформацій через вузлові температури (4) та їх похідні (5):

$$\begin{aligned}
\overset{\circ}{\varepsilon}_{\alpha(\alpha)}^T &= \frac{\overset{\circ}{\alpha}_T}{4} \sum_{S_1=\pm 1} \sum_{S_2=\pm 1} \Delta T_{(S_1 S_2)} \overset{\circ}{g}_{\alpha(\alpha)}; \\
\overset{\circ}{\varepsilon}_{\alpha(\alpha),(3-\alpha)}^T &= \frac{\overset{\circ}{\alpha}_T}{4} \sum_{S_1=\pm 1} \sum_{S_2=\pm 1} \Delta T_{(S_1 S_2)} 2S_{(3-\alpha)} \overset{\circ}{g}_{\alpha(\alpha)}; \\
\overset{\circ}{\varepsilon}_{12}^T &= \frac{\overset{\circ}{\alpha}_T}{4} \sum_{S_1=\pm 1} \sum_{S_2=\pm 1} \Delta T_{(S_1 S_2)} \overset{\circ}{g}_{12}; \\
\overset{\circ}{\varepsilon}_{33}^T &= \frac{\overset{\circ}{\alpha}_T}{4} \sum_{S_1=\pm 1} \sum_{S_2=\pm 1} \Delta T_{(S_1 S_2)} \overset{\circ}{g}_{33};
\end{aligned}$$

$$\overset{\circ}{\varepsilon}_{33,\beta}^T = \frac{\overset{\circ}{\alpha}_T}{4} \sum_{S_1=\pm 1} \sum_{S_2=\pm 1} \Delta T_{(S_1 S_2)} \overset{\circ}{g}_{33} 2S_\beta. \quad (17)$$

Співвідношення (17), що описують залежність між коефіцієнтами розкладення деформацій у ряд Маклорена і температурою, у матричній формі мають наступний вигляд:

$$\{\overset{\circ}{\varepsilon}^T\} = [\overset{\circ}{B}^T] \{T\}, \quad \{\overset{\circ}{\varepsilon}_{,\alpha}^T\} = [\overset{\circ}{B}_{,\alpha}^T] \{T\}, \quad (18)$$

де

$$\begin{aligned} \{T\}^T &= \{T_{(-1,-1)} \ T_{(1,-1)} \ T_{(-1,1)} \ T_{(1,1)}\}; \\ \{\overset{\circ}{\varepsilon}^T\}^T &= \{\overset{\circ}{\varepsilon}_{11}^T \ \overset{\circ}{\varepsilon}_{12}^T \ \overset{\circ}{\varepsilon}_{22}^T \ \overset{\circ}{\varepsilon}_{33}^T\}; \\ \{\overset{\circ}{\varepsilon}_{,\alpha}^T\}^T &= \{\overset{\circ}{\varepsilon}_{(3-\alpha)(3-\alpha),\alpha}^T \ \overset{\circ}{\varepsilon}_{33,\alpha}^T\}. \\ [\overset{\circ}{B}^T] &= \begin{bmatrix} [\overset{\circ}{B}^T]^{(-1,-1)} & [\overset{\circ}{B}^T]^{(1,-1)} & [\overset{\circ}{B}^T]^{(-1,1)} & [\overset{\circ}{B}^T]^{(1,1)} \end{bmatrix}; \\ [\overset{\circ}{B}_{,\alpha}^T] &= \begin{bmatrix} [\overset{\circ}{B}_{,\alpha}^T]^{(-1,-1)} & [\overset{\circ}{B}_{,\alpha}^T]^{(1,-1)} & [\overset{\circ}{B}_{,\alpha}^T]^{(-1,1)} & [\overset{\circ}{B}_{,\alpha}^T]^{(1,1)} \end{bmatrix}. \end{aligned} \quad (19)$$

Значення компонент підматриць  $[\overset{\circ}{B}^T]^{(S_1, S_2)}$ ,  $[\overset{\circ}{B}_{,\alpha}^T]^{(S_1, S_2)}$  у виразі (19) для вісесиметричних тіл визначаються відповідно до формул (17) з урахуванням обчислених за (1) значеннями компонент метричного тензору для вісесиметричних тіл:

$$[\overset{\circ}{B}^T]^{(S_1, S_2)} = \begin{bmatrix} \frac{1}{4} \overset{\circ}{\alpha}_T \overset{\circ}{g}_{11} \\ \frac{1}{4} \overset{\circ}{\alpha}_T \overset{\circ}{g}_{12} \\ \frac{1}{4} \overset{\circ}{\alpha}_T \overset{\circ}{g}_{22} \\ \frac{1}{4} \overset{\circ}{\alpha}_T \overset{\circ}{g}_{33} \end{bmatrix}; \quad [\overset{\circ}{B}_{,\alpha}^T]^{(S_1, S_2)} = \begin{bmatrix} \frac{1}{2} \overset{\circ}{\alpha}_T S_{(3-\alpha)} \overset{\circ}{g}_{\alpha(\alpha)} \\ \frac{1}{2} \overset{\circ}{\alpha}_T S_\alpha \overset{\circ}{g}_{33} \end{bmatrix}.$$

Матриця жорсткості та формули для визначення вузлових реакцій наведені в роботі [5].

*Термопружне деформування товстостінної труби.* Розглядається напружено деформований стан товстостінної труби нерівномірно нагрітої вздовж радіуса  $r$  (рис. 4).

Температурне поле описується законом:

$$T = -71.66 \cdot (\rho - 0.2)^{1.6}, \quad \rho = \frac{r}{b}.$$

Розв'язок задачі здійснювався при наступних значеннях фізико-механічних характеристик матеріалу: коефіцієнт Пуассона  $\nu=0.3$ , коефіцієнт лінійного теплового розширення  $\alpha_T=1\cdot 10^{-4} \text{ } ^\circ\text{C}^{-1}$ , залежність модуля пружності від температури визначається формулою  $E=10^3 \cdot e^{-0.04606T}$ .

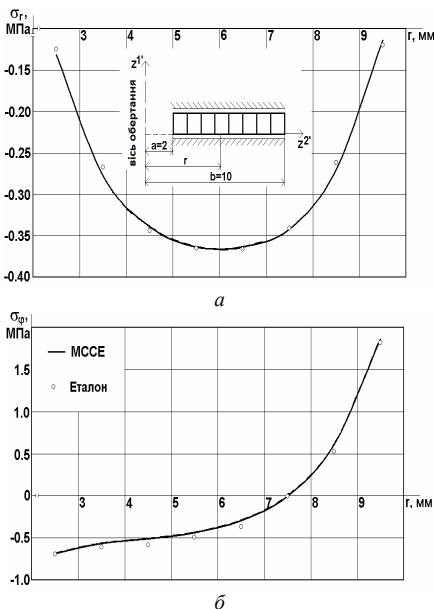


Рис. 4

Результати розрахунків та дискретна модель представлені на рис. 4 у вигляді епюр радіальних  $\sigma_r$  (рис. 4,а) і колових  $\sigma_\varphi$  (рис. 4,б) напружень. Як видно, отримані результати повністю збігаються із еталонним розв'язком отриманим в роботі [6].

Таким чином розроблена методика дозволяє отримувати достовірні результати при розв'язку вісесиметричних задач стаціонарної теплопровідності та термопружності.

## СПИСОК ЛІТЕРАТУРИ

1. Сахаров А.С. Метод конечных элементов в механике твердых тел / А.С. Сахаров, В.Н. Кислюкий, В.В. Киричевский. – К. : Вища шк., 1982. – 480 с.
2. Блох В. И. Теория упругости / В. И. Блох. – Х. : Изд. Харьковск. Гос. Университета, 1964. – 484 с.
3. Коваленко А. Д. Основы термоупругости / А. Д. Коваленко. – К. : Наук. думка, 1970. – 204 с.



4. Димніч А. Х. Теплопровідність : [навч. посібник] / А. Х. Димніч, О. А. Троянський – Донецьк, 2003. – 370 с.
5. Гуляр О.І. Эффективность моментной схемы скінчених елементів (МССЕ) в задачах згину та з концентраторами напружень / О. І. Гуляр, І. І. Солодей, Ю. В. Максим'юк // Опір матеріалів і теорія споруд. - 2012. – Вип. 89. – С. 38-52.
6. Рассказов А. О. Расчёт многослойной ортотропной пологой оболочки методом конечных элементов / А. О. Рассказов // Прикл. механика.– 1978. – 14, № 8. – С. 51–56.

## REFERENCES

1. Saharov A.S. Metod konechnyh jelementov v mehanike tverdyh tel. “The Finite Element Method in Mechanics of Solids” / A.S. Saharov, V.N. Kislookij, V.V. Kirichevskij. – K. : Vishha shk., 1982. – 480 s.
2. Bloh V.I. Teoriya uprugosti. “Theory of Elasticity” / V. I. Bloh. – H. : Izd. Har'kovsk. Gos. Universiteta, 1964. – 484 s.
3. Kovalenko A.D. Osnovy termouprugosti. “Basics thermoelasticity” / A. D. Kovalenko. – K. : Nauk. dumka, 1970. – 204 s.
4. Дымнич А.Х. Теплопроводность : [навч. посібник]. “Thermal conductivity [teach. user]” / А. Х. Дымнич, О.А. Троианский – Донецк, 2003. – 370 с.
5. Huliar O.I. Efektyvnist momentnoi skhemy skinchenykh elementiv (MSSE) v zadachakh zghynu ta z kontsentratoramy napruzhen. “The efficiency of moment scheme finite element (MSFE) in problems of bending and stress concentrators” / O. I. Huliar, I. I. Solodei, Iu. V. Maksym'juk // Opir materialiv i teoriia sporud. 2012. – Vyp. 89. – S. 38 52.
6. Rasskazov A.O. Raschjot mnogoslnoj ortotropnoj pologoj obolochki metodom konechnyh jelementov. “Calculation of multilayer orthotropic shallow shell with the finite element method” / A. O. Rasskazov // Prikl. mehanika.– 1978. – 14, № 8. – S. 51–56.

*Стаття надійшла до редакції 23.12.2013 р.*

*Андрієвський В.П., Максим'юк Ю.В.*

#### **МЕТОДИКА РЕШЕНИЯ ОСЕСИММЕТРИЧНЫХ ЗАДАЧ СТАЦИОНАРНОЙ ТЕПЛОПРОВОДНОСТИ И ТЕРМОУПРУГОСТИ НА ОСНОВЕ МСКЭ**

Приведены основные расчетные соотношения осесимметричных задач стационарной теплопроводности и термоупругости в криволинейной системе координат. На основании основных положений моментной схемы конечных элементов (МСКЭ) получены соотношения для определения температурных деформаций. Проведены численные исследования для подтверждения достоверности результатов.

**Ключевые слова:** теплопроводность, термоупругость, осесимметричные тела, моментная схема конечных элементов.

*Andriievskiy V., Maximjuk Yu.*

#### **METHOD OF SOLUTION OF AXISYMMETRIC STATIONARY HEAT CONDUCTION AND THERMOELASTICITY PROBLEM BASED ON MSFE**

The basic design formulas in a curvilinear coordinate system for axisymmetric stationary heat conduction and thermoelasticity problems are given. A relations for the thermal deformations determination are obtained on the basis of the moment finite element scheme ( MSFE ) main provisions. Numerical studies to results validation are made.

**Keywords:** thermal conductivity, thermoelasticity, axisymmetric body , the moment scheme of finite elements.